

## IV-157 貨車走行安定性に対する軌道狂いの寄与 (第2報)

国鉄 鉄道技術研究所 正員 池守 昌幸  
同 正員 青木 正彦

### 1. まえがき

国鉄貨車 ワラ1型式 8両を山陽本線柳井一下関間を走行させて、その曲率R=400 mの曲線55ヶ所における車輪横圧、輪重、床下振動加速度に対する軌道狂いの影響を求めたものである。この結果によつて軌道狂いがどのように貨車の走行安定性に影響を与えるか、それによつて軌道の保守をどのような目標で行えばよいかのあらよその目安を得た。また車両ごとの走行安定性の差が軌道狂いの安定性への影響と比べてどの程度であるかといふことも知られた。前回同様の検討をワラ496号車について行って報告したが、今回の報告では車両数を増し走行速度をより高くした試験の結果を述べた。

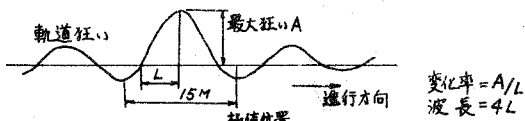
### 2. 試験および解析の方法

#### (1) 試験方法

供試車両および測定車よりなる試験列車を編成し、指定した試験曲線を走行中の各供試車の車輪横圧、輪重および車両床下の上下、左右振動加速度と軌道狂いを測定した。供試車はすべて積荷状態(17 ton)と、試験列車は各試験曲線のカント設定速度、それより10 km/h下り、20 km/h下りの速度により試験区间を3回走行した。測定記録はペン書きオッショログラフと磁気テープを併用した。

#### (2) データ整理および解析の方法

試験曲線55ヶ所より100 mづつに分割したサンプリングロットを設定して、各ロットにおける曲線外軌側の横圧最大値、輪重最小値および上下、左右加速度の各最大値を抽出し、これらの抽出値に対応する位置の軌道狂いの大きさ、狂いの変化率、波長等を右図のようにして求めた。この車両特性値と軌道狂いとの対応はすべて当所に設置してある Bendix-G 20 電子計算機および附属 A-D 変換装置により行った。



各車両特性値に影響を与える因子として、車両個体差、列車速度、軌道狂いの大きさ、同変化率、同波長を考え、これらの因子の寄与の度合を分散分析により求め、この結果により軌道狂いの寄与をさらに細く調べた。これにより軌道狂いと横圧、輪重、脱線係数等との関係が得られ、ワラ型式車の走行安定上の限界値に超える確率を軌道狂いの大きさに対して求めた。

### 3. 結果

#### (1) 分散分析

データ数の關係から考えてくる因子をすべて同時にとり上げることができないので、分散分析は適当に分けて行つた。表-1にその結果の一例を示すが、この場合には狂い波長を除き狂い変化率は車両特性値と同じ方向のもののみを因子としている。因子の水準数は車両 16 (8両×左右別)、速度 4

軌道狂い 4 子では 2 (車両特性値と同方向狂い 4), 狂い変化率子とし, 車両以外の因子は逐次分類により水準を定めた。表-1 に見られるように輪重を除いて速度の影響が最も大きく, 軌道狂いの影響は 1~3% 程度である。車両個体差による変動は割り大きく左右加速度では軌道狂いと同程度であるがその他の特性値では 8~15% となっている。狂いの変化率の影響は小さくまた別の分散分析の結果から狂い波長の影響も小さいことが知られた。横圧に対して速度, 通り狂いがどのように影響しているかを図示すると図-1 のようになる。

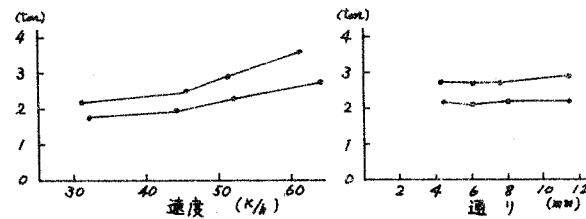


図-1 横圧と速度, 通り

#### (2) 速度と軌道狂いの交互作用

表-1 で横圧について速度と通り, 輪重について速度と高低に 2~3 % の寄与率が示されている。それで速度別に通りを横軸にとり横圧をプロットした例を示すと図-2 のようになる。これによつて速度が高くなるにつれて通り狂いが次第に影響をもつようになることが知られる。高低と輪重についても速度が 70% になると急に高低, 狂いの影響が大きくなることが知られた。

#### (3) 60%H 以上の場合の軌道狂いの効果

速度が 60%H 以上の場合は 60, 65, 70%H の 3 段階に分け軌道狂いの増加に対する特性値の増加率を求めるより表-2 のようになる。表-2 に見られるように速度が 70%H になると横圧, 左右加速度, 輪重に対して軌道狂いの影響が急激にでてくる。

#### (4) 走行安定上の限界値を超える確率

これまで横圧, 輪重, 脱線係数等の車両走行安定性を示す特性値に対する軌道狂いの影響を知り得た。表-2 に示す増加率と車両個体差およびその他因子にもとづく変動による標準偏差によつて、いろいろな大きさの軌道狂いに対して、限界値を横圧 6.2 ton, 輪重 0, 脱線係数 0.8 としたときの限界値超過確率を求めると表-3 のようになる。この確率の計算は標本値を正規分布標本 5% の極値とし、特性値は平均値のまわりに正規分布するものとした。

	因 子	横 圧	寄 与 率	脱 線 係 数	因 子	輪 重	寄 与 率	
主効果	車 雨	1	**	**	車 雨	15.5	**	1
	速 度	2	41.2	42.9	速 度	22.6	2	
	通 り	3	1.2	2.5	高 低	3.4	2.0	3
	通り変化	4		0.4	高低変化		1.2	4
交互作用	高 低	5			通 り		5	
	1×2	6	3.0	3.4	1×2	1.7		6
	1×3	7			1×3	4.4		7
	1×4	8			1×4	2.6		8
重用	1×5	9			1×5	2.1		9
	2×3	10	2.3	2.1	0.9	2×3	2.8	10
	2×4	11	0.5		2×4	0.7	1.0	11
	2×5	12			2×5	0.8		12
その他	3×4	13	0.4	0.4	3×4	1.0	0.7	13
	3×5	14			3×5	1.3	0.4	14
	4×5	15			4×5	0.3	0.4	15
	その他	16	42.1	45.3	76.9	その他	63.5	63.2

表-1 分散分析結果例 數値は寄与率  
\*\* 1% 有意  
\* 5% 有意

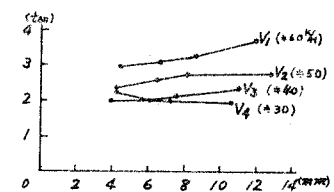


図-2 速度と通りの交互作用

速 度	通 り			高 低		
	横 圧	左右加速度	脱 線 係 数	輪 重	左 右 加 速 度	
60	0.05 <sup>2</sup>	0.003 <sup>3</sup>	0.006	-0.08 <sup>2</sup>	0.008 <sup>3</sup>	
65	0.04	0.008	0.000	-0.08	0.000	
70	0.14	0.022	0.006	-0.21	0.005	

表-2 狂い 1mm に対する特性値増加率

狂 量	通 り	高 低
20	$2 \times 10^{-9}$	$6 \times 10^{-8}$
30	$7 \times 10^{-7}$	$10^{-6}$
35	$10^{-5}$	$5 \times 10^{-6}$
40	$10^{-4}$	$2 \times 10^{-5}$
45	$7 \times 10^{-4}$	$5 \times 10^{-5}$

(脱線係数)

表-3 限界値超過確率

(横圧 → 通り)  
(輪重 → 高低)